

Chromosomenzahlen von Farn- und Samenpflanzen aus Deutschland 17

THOMAS GREGOR & JURAJ PAULE (ed.)

Mitarbeiter und Herausgeber dieses Beitrags:

Thomas Gregor

Senckenberg Forschungsinstitut und
Naturmuseum, Abteilung Botanik und
molekulare Evolutionsforschung
Senckenberganlage 25,
60325 Frankfurt am Main;
thomas.gregor@senckenberg.de

Juraj Paule

Botanischer Garten und Botanisches Museum
Berlin, Freie Universität Berlin
Königin-Luise-Straße 6–8, 14195 Berlin;
j.paule@bo.berlin

Anton Mayer

Pfefferminzstraße 74, 82223 Eichenau;
mayer-eichenau@t-online.de

Lenz Meierott

Am Happach 43, 97218 Gerbrunn;
lenz.jutta.meierott@t-online.de

Norbert Meyer

Adlerstraße 6, 90522 Oberasbach;
norbert.meyer@fen-net.de

Ingo Uhlemann

Teichstraße 61, 01778 Liebenau;
greta_uhlemann@web.de

687. *Campanula rotundifolia* –

DNA-Ploidie 2x

PSF 0,86 gegen *Glycine max* (cv. Polanka)

Bayern, Landkreis Bayreuth, Pottenstein, Langer Berg, Dolomitfels (6234/14); 22.8.2019,
N. Meyer.

T. Gregor & N. Meyer

688. *Campanula rotundifolia* –

DNA-Ploidie 2x

PSF 0,86 gegen *Glycine max*

Bayern, Landkreis Bayreuth, Haselbrunn-tal nordnordöstlich Pottenstein, Dolomitfels (6234/21); 22.8.2019, N. Meyer.

T. Gregor & N. Meyer

689. *Campanula rotundifolia* –

DNA-Ploidie 2x

PSF 0,84 gegen *Glycine max*

Bayern, Landkreis Bayreuth, NSG Entenstein nördlich Haselbrunn; felsdurchsetzte Magerrasen (6234/21); 22.8.2019, N. Meyer.

T. Gregor & N. Meyer

Aus der Umgebung von Pottenstein liegen diploide Zählungen zu *Campanula gentilis* vor (KOVANDA 1970, GREGOR & HAND 2014). Auch die hier vorgestellten Pflanzen wurden ursprünglich unter diesem Namen gefasst. Nach den Ergebnissen von ŠEMBEROVÁ (2023) sowie ŠEMBEROVÁ & al. (2023) kann diese Sippe aber nicht mehr aufrechterhalten werden. Pflanzen dieses Wuchstyps sind sowohl di- als auch tetraploid und zeigen keine klaren morphologischen Unterschiede gegenüber *C. rotundifolia*. Die Kalibrierung der Ploidie wurde nach RAUCHOVÁ 2007 und NIERBAUER & al. (2017) vorgenommen.

690. *Galeobdolon luteum* – $2n = 18$

Sachsen, Osterzgebirge, Müglitztal bei Glas-hütte (5148/23); Nov. 2001, I. Uhlemann (Herb. Uhlemann).

I. Uhlemann

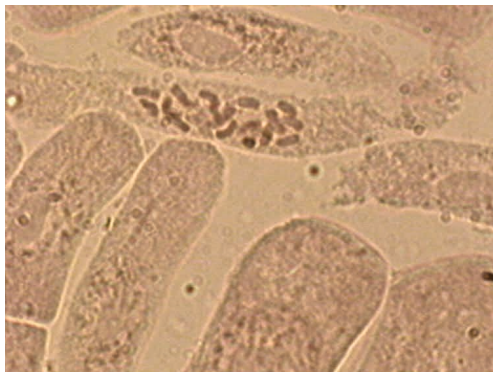


Abb. 1: *Galeobdolon luteum*, Osterzgebirge, Müglitztal bei Glashütte; I. Uhlemann.

691. ***Galeobdolon montanum* – $2n = 36$**

Sachsen, Sächsische Schweiz, Hirschgrund bei Schöna, lichter Laubwald (5151/12); 12.5.2000, N. Drechsler (Herb. Uhlemann). I. Uhlemann

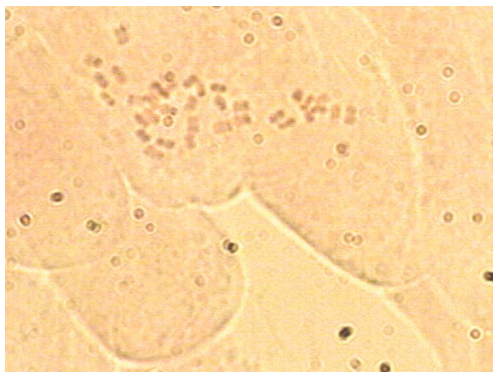


Abb. 2: *Galeobdolon montanum*, Sächsische Schweiz, Hirschgrund bei Schöna; I. Uhlemann.

692. ***Vaccinium uliginosum* –**

DNA-Ploidie 4x
PSF 1,10 gegen *Glycine max*

Bayern, Landkreis Berchtesgadener Land, Nordabfall der Funtenseetauern, zwischen Ebenhorn und Kuhzscheibe an der Leeseite eines Grates auf Rohhumus auf Dachstein. Begleiter u. a. *Agrostis alpina* und *Helictotrichon versicolor* (8543/22); 17.8.2019, A. Mayer.

T. Gregor & A. Mayer

693. ***Vaccinium uliginosum* –**

DNA-Ploidie 4x
PSF 1,08 gegen *Glycine max*

Bayern, Landkreis Oberallgäu, Allgäuer Alpen, Hornbachjoch, Caricetum firmae (8628/14); 19.9.2020, A. Mayer. T. Gregor & A. Mayer

694. ***Vaccinium uliginosum* –**

DNA-Ploidie 4x
PSF 1,05 gegen *Glycine max*

Bayern, Landkreis Oberallgäu, Allgäuer Alpen, zwischen Grünen Kopf und Rauheck, Umgebung von Sattel am tiefsten Punkt, lückige Zwergstrauchheide in Westexposition an steilem Hang (8628/14); 19.9.2020, A. Mayer.

T. Gregor & A. Mayer

695. ***Vaccinium uliginosum* –**

DNA-Ploidie 4x
PSF 1,02 gegen *Glycine max*

Bayern, Landkreis Oberallgäu, Allgäuer Alpen, Rauheck, Südwestgrat, lückige Horstseggenrasen (8628/31); 19.9.2020, A. Mayer.

T. Gregor & A. Mayer

Auch mit weiteren Messungen aus den Allgäuer und Berchtesgadener Alpen ließ sich kein Nachweis von *V. gaultheroides* aus den deutschen Alpen erbringen. Zur Problematik des Vorkommens dieser Art in Deutschland siehe REGELE & al. (2017), GREGOR & al. (2018) sowie HAND (2020). Die Zuordnung der Probe-Standard-Fluoreszenzverhältnisse (PSF) zu Ploidiestufen erfolgte nach GREGOR & al. (2018).

696. ***Valeriana excelsa* subsp. *excelsa* –**

DNA-Ploidie 8x
PSF 4,44 gegen *Solanum lycopersicum* (cv. Stupické polní tyčkové rané)

Niedersachsen, Juist Westteil, Dünen östlich Hammersee (2307/21); 22.6.2013, T. Gregor & GEFD-Exkursion; T. Gregor 10475 (FR).

T. Gregor

697. ***Valeriana excelsa* subsp. *excelsa*** –
DNA-Ploidie 8x
PSF 4,32 gegen *Solanum lycopersicum*

Bayern, Straßennböschung 2 km westlich Kirchzell (6320/44); 23.6.2013, L. Meierott; *L. Meierott* 13/419 (M). T. Gregor & L. Meierott
698. ***Valeriana excelsa* subsp. *excelsa*** –
DNA-Ploidie 8x
PSF 4,45 gegen *Solanum lycopersicum*

Bayern, straßennahe Wiesenbrache zwischen Bürgstadt und Freudenberg (6221/41); 23.6.2013, L. Meierott; *L. Meierott* 13/420 (M). T. Gregor & L. Meierott
- Die Zuordnung der PSF zu Ploidiestufen erfolgte nach GREGOR & al. (2016) sowie BRESSLER & al. (2017).

Literatur

- BRESSLER, S., KLATTE-ASSELMAYER, V., FISCHER, A., PAULE, J. & DOBEŠ, C. 2017: Variation in genome size in the *Valeriana officinalis* complex resulting from multiple chromosomal evolutionary processes. – Preslia 89: 41–61. – <https://doi.org/10.23855/preslia.2017.041>
- GREGOR, T. & HAND, R. (ed.) 2014: Chromosomenzahlen von Farn- und Samenpflanzen aus Deutschland 8. – Kochia 8: 63–70. – <https://doi.org/10.21248/kochia.v8.72>
- GREGOR, T., PAULE, J. & MEIEROTT, L. 2018: Klärung bayerischer Florenprobleme mithilfe der durchflusszytometrischen Ploidiebestimmung – ein geglückter Fall von „Citizen-Science“. – Ber. Bayer. Bot. Ges. 88: 77–90.
- GREGOR, T., MEIEROTT, L. & PAULE, J. 2016: Morphologische Variabilität bei tetraploider *Valeriana officinalis* s. l. in Deutschland: *Valeriana pratensis* subsp. *franconica* Meierott & T. Gregor, subsp. nov. – Ber. Bayer. Bot. Ges. 86: 27–36.
- HAND, R. 2020: Beiträge zur Fortschreibung der Florenliste Deutschlands (*Pteridophyta*, *Spermatophyta*) – Zwölfta Folge. – Kochia 13: 61–76. – <https://doi.org/10.21248/kochia.v13.114>
- KOVANDA, M. 1970: Polyploidy and variation in the *Campanula rotundifolia* complex. Part II. (Taxonomic), 1. Revision of the groups *Saxicolae*, *Lanceolatae* and *Alpicolae* in Czechoslovakia and adjacent regions. – Folia Geobot. Phytotax. 5: 171–208. – <https://doi.org/10.1007/BF02851825>
- NIERBAUER, K. U., PAULE, J. & ZIZKA, G. 2017: Heteroploid reticulate evolution and taxonomic status of an endemic species with bicentric geographical distribution. – AoB Pl. 9: plx002. – <https://doi.org/10.1093/aob/pla/plx002>
- RAUCHOVÁ, J. 2007: Karyologická, fenetická a genetická diferenciace českého subendemického taxonu *Campanula gentilis* Kovanda – Prague: Diploma Thesis, Charles University, Faculty of Science, Department of Botany.
- REGELE, D., GRÜNEBACH, M., ERSCHBAMER, B. & SCHÖNSWETTER, P. 2017: Do ploidy level, morphology, habitat and genetic relationships in Alpine *Vaccinium uliginosum* allow for the discrimination of two entities? – Preslia 89: 291–308. – <https://doi.org/10.23855/preslia.2017.291>
- ŠEMBEROVÁ, K. 2023: Population structure and evolutionary history of Central European bellflowers from the *Campanula rotundifolia* agg. – Prague: Ph.D. Thesis, Charles University, Faculty of Science, Department of Botany.
- ŠEMBEROVÁ, K., SVÍTOK, M., MARHOLD, K., SUDA, J. † & SCHMICKL, R. E. 2023: Morphological and environmental differentiation as prezygotic reproductive barriers between parapatric and allopatric *Campanula rotundifolia* agg. cytotypes. – Ann. Bot. (Oxford) 131: 71–86. – <https://doi.org/10.1093/aob/mcab123>